

Torcello scavata. Patrimonio condiviso

Izkopan Torcello. Skupna dediščina

Torcello excavated. A shared heritage



2 - Lo scavo 2012-2013

A cura di Diego Calaon, Elisabetta Zendri, Guido Biscontin

2 - Izkopavanja 2012-2013

Uredil Diego Calaon, Elisabetta Zendri, Guido Biscontin

2 - The 2012-2013 excavation campaign

Edited by Diego Calaon, Elisabetta Zendri, Guido Biscontin



2007-2013
Progetto europeo
Regione per la cooperazione
interregionale
Italia-Slovenia

2007-2013
Evropski projekti za razvoj v regiji
Regija za razvoj in sodelovanje med

Slovenija-Italija

Investiamo nel
vostro futuro!
Naložba v vašo
prihodnost!
www.ila.slo.eu

Naši letniki so na voljo na spletni strani
Projektov za razvoj in sodelovanje med

Torcello scavata. Patrimonio condiviso

Izkopan Torcello.
Skupna dediščina

Torcello excavated.
A shared heritage

2

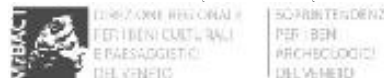
Lo scavo 2012-2013

Izkopavanja 2012-2013

The 2012-2013 excavation campaign



In collaborazione con / V sodelovanju / In collaboration with



In collaborazione con / V sodelovanju / In collaboration with



Università
Ca' Foscari
Venezia

Coordinamento generale / Splošno usklajevanje / General Coordination

Regione del Veneto

Dipartimento Cultura

Settore progetti strategici e politiche comunitarie

Clara Perantini

Palazzo Sceriman Cannaregio, 168 - 30121 Venezia

http://www.regione.veneto.it/web/cultura/uc_per_la_cultura

Segreteria di redazione / Uradna uređevaljiva / Editorial staff

Dorella Baldi, Claudia Cappato, Sabrina Trovò

Coordinamento scientifico / Znanstveno usklajevanje / Scientific coordination

Alessandro Asta, Soprintendenza per i Beni Archeologici del Veneto
Diego Calaon, Università Ca' Foscari Venezia, Dipartimento di Scienze Ambientali, Informatica, Statistica

Luigi Pozzati, Soprintendenza per i Beni Archeologici del Friuli Venezia Giulia

Elisabetta Zendri, Università Ca' Foscari Venezia, Dipartimento di Scienze Ambientali, Informatica, Statistica

Torcello scavata. Patrimonio condiviso

Izkopan Torcello. Slepne dediščine

Excavating Torcello. A shared heritage

2. L'escavo 2012-2013

2. Izkopavanja 2012-2013

2. The excavation campaign 2012-2013

A cura di / Uredil / Edited by

Diego Calaon, Elisabetta Zendri, Giulio Bisconti

Testi / Besedila / Texts

Elconora Baliana, Angela Bernardi, Guido Bisconti, Diego Calaon, Laura Falchi, Chiara Frigatti, Anita Granzo, Francesca Caterina Izzo, Giuseppe Longo, Chiara Malaguti, Alessandra Marante, Michèle Varitaro, Ilona Volotti, Paolo Mozzi, Alcea Pluskowsky, Claudio Povolo, Alessia Prezioso, Sandra Primori, Anna Renotto, Camilla Sainati, Barbara Sevcic, Chiara Scattolonardo, Daniele Scalzo, Krish Seethal, Vanuola Sgobbi, David Thornley, Gaia Trombin, Diana Vidal, Elisabetta Zendri

Traduzione / Prevod / Translation

Studio Morello Group - Italia

Progetto grafico e impaginazione / Graficki oblikovanje in poslovitev /

Graphic project and layout

La Tipografica srl

via Julia, 27 - 33030 Basaldella ci Campofiorinide - UD - Italia

<http://infotipografica.it> - www.ltipografica.it

Riferenze fotografiche / Fotografski material / Photos

Archivio di Stato di Venezia: fig. 1 pag. 234, figg. 3-4 pag. 236, fig. 8 pag. 238, figg. 10-14 pag. 240-243 (autorizzazione in corso di rilascio)

Archivio Soprintendenza per i Beni Archeologici del Veneto (C. Melotti): fig. 6 pag. 189

Regione del Veneto, Sezione Planificazione Territoriale e Strategica e Cartografia: fig. 2 pag. 24

U.S. Department for Agriculture: fig. 6 pag. 338

A. Bernardi, M. Sgobbi: figg. 1-8 pagg. 282-286

D. Calaon: fig. 1 pag. 23, fig. 3 pag. 25, figg. 5-6 pag. 26, fig. 8 pag. 27, fig. 3 pag. 41, fig. 5 pag. 42, fig. 7-8 pag. 47, fig. 2 pag. 48, fig. 2 pag. 49, figg. 1-27 pagg. 69-98, fig. 1-6 pagg. 220-224, fig. 2 pag. 235, fig. 5-7 pag. 237, fig. 9 pag. 239, fig. 15 pag. 244, fig. 1-5 pag. 370

A. Corazza: fig. 2 pag. 41, fig. 4 pag. 42

A. Delva: fig. 2 pag. 185

C. Frigatti: figg. 1-18 pagg. 316-325

C. Valagutti, R. Melotti: fig. 4 pag. 187

A. Marcato: figg. 1-5 pagg. 202-204, fig. 7 pag. 205

V. Varitaro: figg. 1-2 pag. 131

E. Melotti: fig. 1 pag. 835, figg. 4-5 pag. 357, figg. 7-12 pagg. 338-341

E. Melotti, A. Delva: fig. 2 pag. 336

E. Melotti, C. Malaguti: fig. 3 pag. 336

M. Pescarin Volpato: fig. 6 pag. 201

A. Prezioso: figg. 1-12 pagg. 293-296

S. Primori, P. Mozzi: figg. 1-5 pagg. 1-7-121

A. Remotto: figg. 1-7 pagg. 355-358

D. Scatto: figg. 1-4 pagg. 377-378

K. Seestah, A. Pluskowsky: figg. 1-12 pagg. 143-148

M. Sgobbi: fig. 4 pag. 25, fig. 7 pag. 27

D. Thornley, D. Calaon: fig. 3 pag. 50

G. Trombin: figg. 1-9 pagg. 162-165

L. Zendri: figg. 1-7 pagg. 267-273

Fig. 1 pag. 40 tratta da Calaon D., *Quando Torcello era abitato*, Venezia 2013

Fig. 6 pag. 43 tratta da Ammertan A., J., VeClemente C. E., *Venice before San Marco. Recent studies on the Origins of City*. Exhibition and conference, Colgate University, New York 2001

Fig. 4 pag. 223 tratta da Capiale G., Turri T., Zanetti M. (a cura di), *La laguna di Venezia*, Verona 1995.

Per ulteriori informazioni non comprese nelle sopraindicate referenze, si rimanda alle singole didascalie.

Za informacije, ki niso navedene v zgornjem opisu, si ogledje posamezne podnapise.

For further information not included in the credits above, please refer to the corresponding captions.

copyright

Regione del Veneto. Tutti i diritti riservati

Tipografia / Tipografija / Printed by

La Tipografica srl

via Julia, 27 - 33030 Basaldella ci Campofiorinide - UD - Italia

<http://infotipografica.it> - www.ltipografica.it

Si ringraziano / Zahvaljujemo se / Thanks to

Saša Čaval e Krish Seestah per la revisione linguistica della traduzione

Saša Čaval in Krish Seestah za lektoriranje prevoda

Saša Čaval and Krish Seestah for the linguistic revision of the translation

Titatura / Naklada / Copies

500 esemplari

Riproduzione vietata / Reprodukcija prepovedana. All rights reserved

© 2014 Regione del Veneto

ISBN 978-88-7541-411-5

I testi pubblicati in questo volume sono di proprietà della Regione del Veneto. Le immagini appartengono ai rispettivi proprietari. Le immagini dello scavo di Torcello 2012-2013 e dei reperti ad esso connessi sono pubblicate a cura dell'Università Ca' Foscari di Venezia ai sensi delle Concessioni di Scavo del Ministero per i Beni e le Attività Culturali, note n. 2872, 34-31 07/1254 del 12/03/2012; n. 1605, 34-31 07/1254 del 18/02/2013; n. 1871, 34-31-07/1254 del 05/03/2014. Tutti i diritti sono riservati. I diritti di traduzione, di riproduzione, di autorizzazione elettronica e di adattamento totale o parziale, con qualsiasi mezzo (comprese riproduzioni digitali e copie fotostatiche) sono riservati in tutti i paesi.

Desedile so last Deželni Venetij. Fotografije so last njihovih avtorjev. Slike izkopavanj na Torcellu 2012-2013 ter romarskih najdi je objavila Univerza Ca' Foscari v Benetkah v skladu z dovoljenji za arheološko raziskovanje italijanskega uradnega kulturno cedilnega in dejavnosti, opombe št. 2872, 34-31 07/1254 z dne 12/03/2012; št. 1605, 34-31-07/1254 z dne 18/02/2013; št. 1871, 34-31-07/1254 z dne 06/03/2014. Vse pravice pridržane. Pravice za prevajanje, razumevanje, vključno s shranjevanjem ali oddelavo zelo v temi sredstvi, spreminjajo se ovde ali edno nega besedila na kakršen koli način (včasih z reproducijo v digitalni formacijsi s kopiranjem) se prizrane v vseh državah.

All the texts published in this book are the property of the Region of Veneto. The images are the property of their respective owners. The images of the excavation campaign in Torcello in 2012-2013 and the connected finds are published thanks to the University Ca' Foscari di Venezia, in accordance with the Excavation Concessions of the Ministero per i Beni e le Attività Culturali, note n. 2872, 34-31-07/1254 of 12/03/2012; n. 1605, 34-31-07/1254 of 18/02/2013; n. 1871, 34-31-07/1254 of 06/03/2014. All rights reserved. The rights of translation, reproduction, electronic storage and adaptation in whole or in part by any means (including, digital reproduction and photocopies) are reserved in every country.

Pubblicazione finanziata nell'ambito del Programma per la Cooperazione Transfrontaliera Italia-Slovenia 2007-2013, dal Fondo europeo di sviluppo regionale e dai fondi nazionali.

Projekt se financira v okviru Programa za mejnega sodelovanja Slovenija-Italia 2007-2013 iz sredstev Evropskega sklada za regionalni razvoj in nacionalnih sredstev.

This publication is financed by the Cross-border Cooperation Programme Italy-Slovenia 2007-2013, by the European Regional Development Fund and by National funds.

I contenuti della presente pubblicazione non rispecchia necessariamente le posizioni ufficiali dell'Unione europea, la responsabilità del contenuto della presente pubblicazione appartiene agli autori dei testi.

Vsebina publikacije ni vujno odvet uradnih staljic Evropske unije. Odgovornost za vsebine te publikacije preverjajo avtorji in besedil.

The contents of this publication do not necessarily reflect the official position of the European Union. The contents present in this publication are the sole responsibility of the authors of the texts.

La presente pubblicazione è reperibile in formato elettronico all'indirizzo:

Pubblikacija je na voljo v elektronski obliki na naslednjem naslovu:

This publication is also available in electronic format at:

<http://www.regione.veneto.it/web/cultura/jeper-h-cultura>

5.5 I REPERTI METALLICI DELLO SCAVO DI TORCELLO: DATI ARCHEOLOGICI, INDAGINI ARCHEOMETRICHE E PROPOSTE PER LA CONSERVAZIONE

5.5.1 Dallo scavo al laboratorio, Necessità conservative

Nel corso dello scavo Torcello sono stati rinvenuti in totale 420 reperti appartenenti alla categoria dei materiali metallici.

Questa classe di manufatti costituisce una sfida sia dal punto di vista archeologico (studio e interpretazione), che conservativo (preservazione e restauro).

A seguito del lungo periodo di interramento, infatti, questi reperti subiscono processi di modifica profonda e particolarmente profondi, dovuti all'interazione con l'ambiente: parte del materiale metallico degrada e contemporaneamente ioni e impurità provenienti dal terreno arricchiscono la composizione del manufatto. Questa serie di fenomeni provoca generalmente la formazione sull'oggetto di uno spesso guscio di prodotti di corrosione che, oltre a rendere difficile l'identificazione autoptica del manufatto rinvenuto, porta dei problemi metodologici nella definizione stessa del profilo dell'oggetto originario.

Inoltre, questi manufatti necessitano di particolari attenzioni conservative già a partire dal momento del loro rinvenimento, oltre che per la loro fragilità, soprattutto

5.5 KOVINSKE NAJDBE IZ IZKOPA PRI TORCELLU: ARHEOLOŠKI PODATKI, ARHEOMETRIČNE RAZISKAVE IN PREDLOGI ZA OHRANITEV

5.5.1 Od izkopa v laboratorij: predpogoji za ohranitev

Med izkopavanjem pri Torcellu smo naleteli na 420 objektov iz kategorije kovinskih materialov.

Ta vrsta predmetov predstavlja pravi izziv bocisi z arheološkega stališča (to je s stalšča preučevanja in interpretacijo) kot s stališča konserviranja (ohranitve in restavriranja).

Med doljim postankom podzemljo so ti predmeti doživeljali globoke spremembe: procese zaradi interakcije z okoljem: del kovinskega materiala se je razkrojilo, hkrati pa so varj prodrli ioni in nočistota iz terena in obogatili njegovo sestavino. Zaradi teh pojavov na predmetu nastane debela plasti koroziskih snovi, ki otežkočajo avtoptično identifikacijo najdenega predmeta in povzročajo metodološke težave v zvezi z opredelitevijo »omocijev« izvirnega predmeta.

Ti predmeti zahtevajo tudi posečno konservativno pozornost od samega trenutka njihove najdbe, ker so izredno kratak in občutljivi na okoljske spremembe, predvsem na nihanje stopnje relativne vlage.

Omernjena pojava korozije in mineralizacije sta namreč zemeljna procesa, katerih namen je vzpostavitev ravno-

5.5 THE METAL FINDS FROM THE TORCELLO EXCAVATION: ARCHAEOLOGICAL DATA, ARCHAEMETRIC SURVEYS, AND PRESERVATION PROPOSALS

5.5.1 From the excavation to the laboratory, preservation needs

In Torcello excavation 420 finds belonging to the category of metal artefacts have been unearthed. This class of artefacts represent a challenge from an archaeological point of view (study and interpretation) and in terms of preservation (storage and restoration).

During the buried period, these finds are subjected to particular and deep modification processes, due to the interaction with the environment: part of the metal material degrades and at the same time ions and impurities present in the soil enrich the chemical composition of the artefact. This series of phenomena generally causes on the object the formation of a thick shell of corrosion products. This layer makes the autoptic identification of the finding difficult and opens methodological issues in the definition of the original profile of the object. These artefacts require careful preservation since their discovery, especially due to their fragility caused mainly by their sensitivity to environmental changes and fluctuations in relative humidity.

The mineralisation and corrosion phenomena are chemical processes that reach an equilibrium state between the artefact and the environment. Unearthing an object changes this balance due to variations in humidity and to the greater availability of oxygen and might cause new and additional processes of corrosion (often typical of the post-excavation stage).

a causa della loro sensibilità alle variazioni ambientali, in particolare alle oscillazioni di umidità relativa. I fenomeni di corrosione e mineralizzazione sono infatti processi chimici che proseguono fino al raggiungimento dell'equilibrio tra manufatto e ambiente. A seguito del dissolterramento questi equilibri mutano (in particolare a causa delle variazioni di umidità e la maggiore di disponibilità d'ossigeno) e si possono verificare nuovi e aggiuntivi processi di corrosione a danno del manufatto, spesso esclusi dalla fase post-scavo.

Le concrezioni e i prodotti di alterazione presenti sui reperti possono contribuire al degrado dei reperti metallici, data la loro capacità di scambiare acqua con l'ambiente circostante; ciò può produrre sollecitazioni meccaniche e conseguente formazione di micro-fratture e disaggregazioni dei reperti, già resi fragili dai precedenti processi di degrado.

5.5.2 «Il pronto soccorso archeologico»

Data la compresenza sullo scavo Tor12 di archeometri ed archeologi, particolare attenzione è stata data al cosiddetto "Pronto soccorso archeologico" ovvero all'ideale recupero dei materiali e alla loro accurata messa in sicurezza e protezione immediatamente dopo il ritrovamento.

I reperti metallici rinvenuti sono stati separati dagli altri materiali già sul luogo dello scavo. Durante il periodo dello scavo sono stati conservati avvolti in pellicola plastica forata in contenitori ermetici con gel di silice, suddivisi per unità stratigrafica. Il rivestimento forato garantisce la traspirazione dei materiali proteggendo da danni meccanici dovuti all'insacchettamento e trasporto, mentre il gel di silice permette di evitare dannose variazioni di umidità.

Il confronto tra lo stato di conservazione dei manufatti conservati secondo tale procedura e quello di alcuni

vesja med predmetom in okoljem. Ob izkopu se lo ravnoščuje poškoduje (predvsem zaradi sprememb stopnje vlage in veče količine kisika), zaradi česar lahko pride do sproženja novih, dodatnih korozijskih procesov, ki lahko v fazi po izkopu poškodujejo predmet.

Tudi konkrecije in tverbe na predmetih, ki so posledi ca sprememb, lahko prispevajo k razkreju kovinskih in delkov zaradi njihove možnosti sprejemanja oz. izpusta voča v okolje; to lahko povzroči mehansko obremenitev in s tem mikrorazpoke in razpad najdb, ki so že krhk zavadi prejšnjih degradacijskih procesov.

5.5.2 »Arheološka prva pomoč«

Zaradi prisotnosti arheometrov in arheologov na najdišču Tor12 smo posebno pozornost namenili t.i. »arheološki prvi pomoči«, to je vstreznemu izkopu materialov in učinkovitemu zavarovanju in zaščiti takoj po najdbi.

Najdene kovinske predmete smo že na kraju izkopa ločili od ostalih materialov in posamično zavili v luknjičasto plastično folijo. Tako pripravljeni kos, rezdeljeni po stratigrafskih enotah, smo za celotno trajanje izkopov hranili v neprodušni posodi skupaj z majhno kelično silicijevega gela. Luknjičasta prevleka zagotavlja transpiracijo materialov in hkrati preprečuje mehanske poškodbe zaradi drsanja med pakiranjem v vrečke in transportom, sicer pa preprečuje nevarno nihanje stopnje vlage med sušenjem kosov.

Na osnovi kakovostne primerjave med stanjem ohranjenosti predmetov, branjnih v skladu s tem postopkom, in nekaterih najdb, ki so bile po naključju izključene iz tega posoga, bi lahko sklepal, da je bila izbira pravilna. Ta oblika zavarovanja predmeta lahko predstavlja bistven problem v celotnem štučijskem in ohranitvenem procesu: samo zelo majhen del najdb bo namreč obdelan, restavriran in razstavljen v muzeju, a kljub temu

Furthermore, the concretions and the alteration products found on the metallic artifacts can contribute to their degradation because of their capacity to exchange water with the surrounding environment; this may produce mechanical stress and consequent formation of micro fractures on the finds, fragile from previous degradation processes.

5.5.2 'Archaeological First aid'

Particular focus was placed on the 'Archaeological First Aid' thanks to archaeometrists and archaeologists present on the 'Tor12' site, where the suitable recovery of artifacts immediately after their discovery has been considered.

The metal objects recovered were separated from other materials on the excavation site, then wrapped up one by one in perforated plastic film, divided by stratigraphic unit and preserved in airtight containers with silica gel for the entire excavation period. The perforated cover ensures the breathability of the material avoiding mechanical damages due to transportation; and the silica gel avoids damaging moisture fluctuations during the necessary drying process of the finds.

The qualitative comparison between the state of preservation of the artefacts stored according to this procedure and some finds conserved in different ways shows the correctness of the operative choices used. In fact this 'safety measures' may be a crucial point in the whole study and preservation processes. Only a minimum part of the objects will be treated, restored and exposed in a museum, but every single artefact, must be able to 'survive' from the moment of its discovery until the moment of post-excavation analysis.

reperiti fortuitamente esclusi da quest'ultima sembrerebbe avvalorare la correttezza delle scelte operative attuate. Questa sorta di "messa in sicurezza" può rappresentare un nodo cruciale in tutto il processo di studio e conservazione: solo una minima parte dei reperti infatti verrà trattata, restaurata, esposta in un museo, ma ogni singolo pezzo - per poter essere esaminato, catalogato (ed eventualmente entrare a far parte "dell'elenco dei reperti" di cui sopra) - deve poter "sopravvivere" dal momento del rinvenimento fino a quello dell'analisi post-scavo.

5.5.3 I materiali rinvenuti

Nella fase post-scavo, una veloce ricognizione dei materiali ha messo in luce l'alta frammentarietà dei reperti e l'assenza di manufatti di particolare pregio.

Questa condizione è probabilmente dovuta sia alla permanenza dei pezzi in un ambiente favorevole alla corrosione (alta umidità e alta concentrazione di sali) sia al verificarsi di quella "selezione negativa" già sfamata in causa da S. Tabaczyński per spiegare le caratteristiche dei materiali metallici rinvenuti negli scavi torcellani del 1961-62.

Secondo il Tabaczyński, poiché gli oggetti metallici avevano un alto valore, essi venivano generalmente riutilizzati fino a che era possibile; pertanto venivano gettati solo quando troppo usurati o danneggiati per essere riparati e non era economica neppure la loro rifiuzione. Per questa ragione, nelle stratigrafie con storia simile a quelle del nostro scavo - ovvero formatesi a seguito di processi di sedimentazioni lunghi, non provocati da eventi esterni improvvisi (catastrofi naturali, vicerde belliche, ecc.) o intenzionali (scoperte) - non vengono rinvenuti quasi mai oggetti integri e di pregio, ma prevalentemente porzioni di manufatti, frammenti da cui a volte non si può risalire all'oggetto originario (TABACZYŃSKI 1977).

mora vsak posamezen kos mora »preživet« od trenutka najdbe do analize po izkopu, da ga bodo izvedeni lahko pregledali, kaalogirali in morda vključili v elenco kažejočem muzejskih eksponatov.

5.5.3 Najdeni materiali

V fazì po izkolu se je na osnovi bežrega pregleda materialov izkazalo, da so najde zelo fragmentarni in da meč njimi ni posebno dragocenih izdelkov.

Razloge za to greverjetno iskrati v dolgotrajnem postanku predmetov v okolju, ki spodbuja korozijo (visoka stonja v age in visoka koncentracija soli) in v tako imenovani »negativni selekciji«, s katero je S. Tabaczyński razlagal značilnosti torcelških predmetov, najdenih med izkopi pri Torcellu v letih 1961-62.

Ker so bili kovinski predmeti dragoceni, so jih ponavadi potovno uporabljali, dokler je bilo le mogoče. Čepragi so jih le, ko so bili premično obrabljeni in tako poškodovani, da jih ni bilo več mogoče popraviti in da se tuči prealitevni več splačala. Zato v stratigrafijah je podobno zgodovino kot naš izklop pri Torcellu - to je v najdbiščih, ki so se oblikovala na osnovi deljih procesov usedanja, ki jih niso povzročili nenadni zunanjí čogodki (naravnne katastrofe, vojne itd.) ali namerni posagi (pokopavanje trupel) skoraj nikoli ni najti celih dragocenih izdelkov, temveč predvsem čelov in delov, fragmentov, na osnovi katerih včasih spojih ne moremo prepoznati izvirnega izdelka. (TABACZYŃSKI 1977).

Prvo metodološko orodje za proučevanje izdelkov je bila katalogacija na osnovi avtoptičnega opazovanja. Vsako najdbo (ali skupino najdb) smo fotografirali in katalogirali; pri tem smo navedli:

- 1) arheološke podatke: stratigrafsko enoto, v kateri predmet pripada, in datum najdbe;

5.5.3 The discovered materials

During the post-excavation phase, a quick survey of the materials showed a strong fragmentation of the finds and the absence of artefacts of particular value.

This condition is probably due both to the permanence of the pieces in a corrosive environment (high moisture and high saline concentration) during the burial and to the 'negative selection' called into question by S. Tabaczyński to explain the characteristics of metal materials found in the Torcello excavation of 1961-62. Since metal objects have a high value, they were generally re-used until it was no longer possible; thus, they were just thrown away when they were too worn or damaged to be repaired and their melting was not convenient in economic terms. For this reason, the objects found in stratigraphic surveys with a similar history to our dig, i.e., formed as a result of long sedimentation processes, not caused by sudden external events (natural catastrophes, wars, etc.) or intentional events (burials), were almost never entirely intact or valuable, but rather portions of artefacts and fragments that sometimes could not even be traced back to their original object (TABACZYŃSKI 1977).

Our first instrument for studying the artefacts was the creation of a catalogue based on first observation by naked eyes. Each find (or group of similar finds) was photographed and classified indicating:

- 1) The archaeological information: the stratigraphic unit of belonging and the date of discovery;
- 2) a description of the piece: the hypothetical identification of the object and the material of which it was made, a brief description, and its size;

L'ultimo strumento di studio dei manufatti è stato la redazione di una catalogazione sulla base dell'osservazione autoptica. Ogni reperto (o gruppo di reperti omogenei), è stato fotografato e catalogato indicando per ciascuno:

- 1) l'informazione archeologica: l'unità stratigrafica di appartenenza e la data di ritrovamento;
- 2) una descrizione del pezzo; l'ipotesi di identificazione dell'oggetto e del materiale che lo costituisce, una breve descrizione e la sua caratterizzazione cimistica;
- 3) gli aspetti conservativi: una prima valutazione dello stato di conservazione e l'indicazione preliminare sull'opportunità o meno di effettuare delle radiografie o procedere alla pulitura.

Sulla base di questa catalogazione è stato possibile trarre le prime considerazioni (Fig. 1 e 2).

I dati illustrati in Fig. 1 indicano, per tutte le aree di scavo, una netta prevalenza dei materiali ferrosi (il 65,1% del totale dei reperti catalogati) rispetto a reperti in lega di rame e piombo (rispettivamente il 3,1% e il 2,1%); l'alta percentuale (29,7%) di reperti metallici catalogati sotto la dicitura "altro" è dovuta alla significativa presenza di scorie e materiali non identificati, per i quali è necessaria un'analisi chimica per definire l'esatta composizione.

Per quanto riguarda la tipologia di oggetti rinvenuti (Fig. 2), si registra una sostanziale prevalenza di manufatti connessi agli usi edili (41,9%), per la maggior parte chiodi. I ritrovamenti di utensili e oggetti d'uso non sono stati numerosi (7,3% del totale); si tratta per la maggior parte di pesi per la pesca e utensili da taglio, oltre a tre monete, due sigilli in piombo e due chiavi.

Nelle tabelle in Fig. 3 e 4 è riportata la distribuzione delle tipologie di materiali e delle macrocategorie di manufatti in relazione alle Aree di scavo e ai Periodi (inci-

- 2) opis kosa: domnevno identifikacijo predmeta in materiala, iz katerega je sesavljen, kratek opis in dimenzijs;
- 3) podatki v zvezzi z ohranljivijo: osnovno oceno stanja ohranitve in osnovna navečba o možnosti radiografske analize ali čiščenja.

Na osnovi tega kataloga smo očitali prve razljičke (Fig. 1). Izbrani početki dokazujojo, da na območju vseh izkopavanj železni predmeti (65,1% vseh katalogiranih najdb) prevladujejo rdeči bakrovini in svinčenimilizrami (3,1% in 2,1%); velik del predmetov (29,7%) je kata ogirer počazraku »drugi materiali« zaradi visoke prisotnosti žinrete in neidentificiranih materialov, pri katerih lahko spoznamo točno sestavo preko zemljiske analize.

Kar zadeva vrsto najdenih predmetov, prevladujejo izdelki, vezani na gradbeništvo (11,9%), predvsem žebli. Najdb orodja in uporabnih predmetov je bilo veliko (7,3% skupnih najdb); večina na gre za rabiške užezi ali rezalne pripomočke poleg treh kovancev, dveh svinčenih pečatov in dveh ključev.

V slika 3 in 4 je prikazana razdelitev vrst materialov in makrotipologij izdelkov na osnovi območj izkopavanj in obdobj (ta so navedena samo za območje 1000). Pri ocenjevanju podatkov je treba upoštevati znaten padec na preučevanem območju od obdobja 7.

Opazna je očitostnost izdelkov iz bakrenih zlitin v globljih plasteh. Ta podatek ni večen toliko na odsotnost tega materiala v najstarejših stratigrarskih fazah, kolikor na dejstvo, da so iz bakrinih zlitin izdelovali majhne predmete, ki se torče, kljub kačovosti zlitin zanika povsem razkrivajojo.

Zanimiva pa je najdba edinih dveh predmetov, opredeljivih kot »rezilo«, v zlitih plasteh, ki smo jih interpretirali kot obrtniško področje (obdobje 7), in prisotnost enega od red citih orodij v izkoprnih enotah na užitvi brega

- 3) the conservation aspects: an initial assessment of the preservation state and a preliminary indication of the possibility of carrying out radiographies or cleaning procedures.

On the basis of the first classification, it was possible to draw the first considerations (Fig. 1 and 2).

The data illustrated in Fig. 1 indicated a clear prevalence of ferrous materials for all the excavation areas (65.1% of the total of catalogued specimens) compared to artefacts in copper and lead alloys (3.1% and 2.1% respectively); the high percentage (29.7%) of metal finds catalogued under the title 'other' is due to the significant presence of waste and unidentified materials whose exact composition requires chemical analyses to be defined. Regarding the type of recovered objects, several artefacts were connected to building use (41.9%), mostly nails. The utensil and hand tools found were not numerous (7.3% of the total), and the majority of them were weights for fishing and cutting tools, as well as three coins, two lead seals and two keys.

Tables in Fig. 3 and 4 illustrate the typological distribution of the materials and the macro categories of artefacts in relation to the Excavation Areas and Periods (only indicated for Area 1000). The sharp decrease of the area surveyed starting from Period 7 should also be considered during evaluation the data.

It is firstly noted the absence of copper alloy in the stratigraphic layers. This absence could not be due to a lack of this material in the older phases of the stratigraphy, but because of the copper alloy was used to make small objects and was therefore susceptible to complete degradation despite the nobility of the material.

An interesting aspect is the discovery of the only two finds identified as 'blades' in the layers interpreted as a handcrafted area (Period 7), as well as the presence of a tool (a rare event) in the Stratigraphic Units ('US') relative to structural works in the banks (Period 8). In the stratigraphy of Period 7, lots of waste was found.

cati solo per l'Area 1000). Nella valutazione dei dati è necessario tener conto della netta diminuzione dell'area indagata a partire dal Periodo 7.

Si osserva innanzitutto l'assenza di manufatti in lega di rame nelle unità stratigrafiche più basse. Questo dato potrebbe essere correlato non tanto ad un'assenza di tale materiale nelle fasi più antiche della stratigrafia, bensì con il fatto che i rami in rame fossero realizzati oggetti di piccola massa, dunque suscettibili di compiuto degrado nonostante la robustezza della lega.

Un aspetto interessante riguarda il ritrovamento degli unici due reperti identificabili come "lame" negli strati interpretati come area artigianale (Periodo 7), così come la presenza di uno dei rari utensili nel settore di sistemazione di spade (Periodo 8). Nel a stratigrafia del Periodo 7 inoltre sono state rinvenute numerose scorie (almeno in parte legate a processi di lavorazione), assenti invece nelle fasi immediatamente precedenti e successive. Queste osservazioni sembrerebbero ben accordarsi con l'ipotesi di una destinazione industriale/produuttiva delle relative unità stratigrafiche.

5.5.4 Dalla diagnostica al restauro (e ritorno)

Le indagini archeometriche operate sui metalli archeologici di Torcello in questa fase preliminare del lavoro hanno avuto i seguenti obiettivi: fornire all'équipe archeologica un supporto all'interpretazione dei reperti; ricavare informazioni circa lo stato di conservazione dei manufatti allo scopo di indirizzare l'intervento conservativo; testare l'efficacia di alcune procedure d'intervento per valutare la proposta di estenderla ad altri reperti metallici.

Durante la fase diagnostica si è ricorso a diverse tecniche analitiche, tra le quali la microscopia ottica, la Spettroscopia Infrarossa in Trasformata di Fourier (FTIR) e

(obdobje 8). V skrajnji fazi 7. obdobja smo našeli na razne kose žilinde (ki so vsaj delno vezani na občelovalne postopke), ki jih nismo našli ne v prejšnjih ne v sledenih fazah. Na osnovi teh ugotovitev lahko sklepamo, da so bili te stratigrافiske enote namenjene industrijsko prizvodnim čejavnostim.

5.5.4 Od diagnoze do restavriranja (in obratno)

Arheometrične raziskave na arheoloških kovinah iz Torcela so v začetni fazi našega dela imela sledče cilje: nuditi arheološki ekipi pomoč pri interpretaciji najdb; pridobiti informacije o stanju ohranitve izdelkov za učinkovitejše konzervativne posege; preveriti učinkovitost nekaterih konzervativnih postopkov in možnost njihove uporabe tudi pri drugih kovinah najdbah.

V diagnostični fazi smo se poslužili raznih analitskih tehnik, od optične mikroskopije do FTIR (Fourier Transform Infrared) spektroskopije, attenuirane totalne reflektance (ATR), rentgenske fluorescenčne spektroskopije (XRF). Nekatere predmete, ki so bili popolnoma prekrivani s konkrecijami, smo analizirali z rentgenskimi žarki, ki predstavljajo enega od najpogostejših orodij pri preiskovanju arheoloških kovin. Ta tehnika nam razen obliko predmetov pod plastjo korozivskih produksov in usečlin, pokaže nam mejo preživelle površine in prikaže morebitne podrobnosti občelave in razlike pri uporabjenih kovinah. Radiografija nam nudi podatke o stanju ohranitve kovinskega izdelka, pokaže nam očnos med ohranjeno kovino in korozivsko plastjo in nam pomaga pri najzahtevnejših čistinih posogih.

V našem primeru je eden od predmetov, ki jih zaradi čebode plasti korozivskih proizvodov ni mogoče identificirati in ki bi jih bilo mogoče analizirati z rentgenskimi žarki približno 20% skupnih najdb.

Do sedaj so z rentgenskimi žarki analizirana in ceset pred-

(at least in the part linked to working processes), which was absent in the phases immediately before and after. These observations would agree with the hypothesis of an industrial/productive use of the relative stratigraphic unit.

5.5.4 From diagnosis to restoration (and back)

The archaeometric surveys carried out on the archaeological metals of Torcello in this preliminary phases of the work had the following objectives: providing the archaeological team with support to interpret the findings; obtaining information about the conservation state of the artefacts with the aim of directing the preservation work; testing the effectiveness of specific operative procedures to assess the proposal of extending them to other metal finds.

Several analytical techniques were used during the diagnostic phase, including optical microscopy (OM), Fourier Transform Infrared Spectroscopy (FTIR) and Attenuated Total Reflectance (ATR), and X Ray Fluorescence Spectroscopy (XRF). Some finds completely covered with concretions were subjected to X-rays, one of the most used tools in the investigation of archaeological metals. This technique is able to detect the shape of an object under its corrosive layer and deposit or and to identify the edge of the surviving surface showing details of its manufacture and different metals used. Furthermore, X-rays can give indications about the degree of preservation of metal artefacts by calculating the ratio between the surviving metal and the corrosion layer, thus guiding the more delicate cleaning operations.

In our case, about 20% of the pieces could not be identified due to their shell of alteration products and might

in Riflettanza Totale Attenuata (ATR), la Spettroscopia di Fluorescenza X (XRF).

Alcuni reperti completamente ricoperti da concrezioni sono stati sottoposti a radiografia ai raggi X, uno degli strumenti più utilizzati nel campo dell'indagine dei metalli archeologici. Questa tecnica è in grado di rivelare la forma degli oggetti a di sotto del loro involucro di prodotti di corrosione e depositi, ciò individuando il limite della superficie superstite, evidenziando eventuali dettagli di lavorazione e differenze di metalli impiegati. La radiografia inoltre dà indicazioni circa il grado di conservazione del manufatto metallico nel rivelare il rapporto tra metallo superstite e i layer di corrosione guidando così gli interventi di pulitura più indicati.

Nel nostro caso, i pezzi non identificabili per via dello spesso guscio di prodotti di alterazione e che potrebbero essere utilmente sottoposti a radiografia sono circa un 20% del totale.

Al momento dieci reperti sono stati sottoposti a indagine radiografica. In base alle immagini ottenute è stato possibile individuare due chiodi di grandi dimensioni e in discreto stato di conservazione (Fig. 5). Per gli altri pezzi invece la radiografia mostra che, al di sotto dello strato di alterazione, il materiale metallico ha subito più estesi fenomeni di corrosione; per sette di questi reperti è però possibile identificare almeno in parte il profilo originario (si tratta di cinque frammenti longitudinali e di due ganci/anelli), mentre in un caso il metallo sembra essere completamente perduto e con esso la forma dell'oggetto.

Analisi autoptica e osservazione con microscopio a contatto

La totalità dei manufatti è stata sottoposta all'esame autoptico allo scopo di verificare il generale stato di

metalli. Na osnovi tako pridobljenih podatkov smo prepoznali dva velika in precej dobro ohranjena žebrija (Sl. 5). Pri črkajočih predmetih pa radiografija pokazuje, da je kovinski material pod konkrečno plastjo urupljene obsežno korozijo. V primeru sedmih predmetov je vsekakor možno vsaj delno identificirati izvirni profil (glede na dva vzdoljna fragmenta in dva kavljja obroča), v enem primeru pa je kovina navidezna popolnoma razpadla, zaračno česar se je izgubila tudi oblika predmeta.

Avtoptična analiza in pregled s kontaktnim mikroskopom

Vse predmete smo analizirali z avtoptično metodo, da bi preverili splošno stanje kovin. S kontaktnim mikroskopom (Dino Lite) smo pregledali tiste izcelke, na katerih so bili vidni posebni znachenja degradacije, in kose, ki smo jih kasneje restavrirali.

Železni predmeti so na splošno krupki. Nekateri predmeti kažejo znachenja odkrušenja in prelomov, kar priča o napredovanju korozjskih procesov. Velik del železnih materialov prekrivajo delčice korkecije (sestavljeni iz korozjskih proizvodov, pirsti in tuji materiali), ki na osnovi čebelinje otežkočijo ali onemogočijo interpretacijo predmeta. Pod temi konkreacijami je včasih vidna druga spremenjena plast, ki je gostejša in temnejše barve ter predstavlja označeno »marker layer« izvirne površine predmeta. V redkih primerih (np. pri najdbi št. 1005/10) se ta trdna plastična loči in odkrije kovinsko površino, na kateri so pogosto vidne crnaržne in rjavne konkrekcije kristalnega videza (Sl. 6). Pri nekaterih malih predmetih pa smo opazili, da je izvirna kovina povsem razpadla, zato ima korozjska plast obliko vorle hrpine (Sl. 7).

Na svinčenih predmetih pa ni videri konkrekcij. Edine vidne spremembe so tanke skorje belkastega ali rjavega materiala, ki se včasih krušijo. Pri nekaterih predmetih

be useful subjected them to X-ray analyses. At the time, 10 finds were examined by X-ray. Based on the images obtained, it was possible to identify two large nails in fairly good condition (Fig. 5). However, for the other pieces, the X-ray images show, underneath the alteration layer, that the metallic material suffered extensive corrosion; for seven of these pieces it was however possible to identify at least part of their original profile (they were five longitudinal fragments and two hooks/rings), while in one case both the metal of the object seemed to be completely corroded and the shape is unrecognisable.

Autoptic analysis and observation with contact microscope

All of the artefacts underwent an autoptic exam in order to verify their general state of conservation. The observation under contact microscope (Dino Lite) was carried out on the finds that showed forms of particular degradation as well as on the pieces that subsequently underwent restoration.

The iron artefacts appeared generally fragile and some pieces showed signs of chipping and crushing, indicators of corrosive processes underway. The majority of the ferrous materials are covered by thick concretions (composed of corrosion products, soil, and foreign materials), which, in different cases, completely prevented the reading of the object. Under these concretions, a second layer was sometimes identified, more dense and darker in colour, which seems to constitute the 'marker layer' of the original surface of the object. In rare cases, such as the find 1005/10, this compact layer is detached and leaves the metal surface uncovered, often characterised by the presence of orange and brown coloured concretions with a crystalline appearance (Fig. 6). For some small finds, it was possible to observe that the original metal had been totally lost and the cor-

conservazione dei pezzi. L'osservazione al microscopio a contatto (Dino Lite) è stata effettuata sui reperti che evidenziavano forme di degrado particolari nonché sui pezzi successivamente sottoposti a intervento di restauro.

I metalli in ferro appaiono generalmente fragili e alcuni pezzi mostrano segni di escavature e frantumazioni, spie di processi corrosivi in acciaio. La maggior parte dell'materiali "ferrosi" è ricoperta da spesse concrezioni (composte da prodotti di corrosione, terreno e materiali estranei) che, a seconda dello spessore, compromettono fino a impedire del tutto la lettura del reperto. Al di sotto di tali concrezioni è a volte individuabile un secondo strato di alterazione, più denso e di colore scuro, che sembra costituire i "marker layer" della superficie originaria dell'oggetto. In vari casi, come quello del reperto 1005/10, questo strato compatto si distacca lasciando scoperta la superficie metallica, spesso caratterizzata dalla presenza di concrezioni di colore arancio e bruno e dall'aspetto cristallino (Fig. 6). Per alcuni reperti di piccole dimensioni è stato possibile osservare invece che il metallo originario è andato totalmente perduto e lo strato di corrosione si presenta come un guscio cavo (Fig. 7).

Gli oggetti in piombo non presentano invece concrezioni e le alterazioni consistono generalmente in sottili incrostazioni di materiale biancastro o bruno soggetto talvolta a sgolorramento. Per alcuni reperti tuttavia, ad esempio nel caso della tessera 5-55, l'osservazione con microscopio a contatto ha evidenziato la presenza di sottili screpolature superficiali che potrebbero, per quanto riguarda la successiva conservazione del reperto, portare alla compromissione della superficie originale (Fig. 8). I reperti in lega di rame presentano situazioni diversificate, caratterizzate dalla presenza di patine o incrostazioni di prodotti di alterazione di colore verde/azzurro. Tali patine, generalmente dovrebbero essere a base di carbonato di calcio.

(rep. pri ploščici 5155) je mikroskopska analiza pokazala na tanke površinske razpoke, ki bodo v bodoče lahko ogrozile izvirno površino (Sl. 8).

Stanje najdb iz bakrenih zlitin je različno, na njih so prisotne patine ali zelenomočre skorje proizvodov, ki so posledica sprememb mineralov. Te patine bi bile na splošno lahko sestavljeni iz stabilnih bazičnih bakrenih karbonatov, a zaradi izpostavitve morskemu okolju je mogoča kontaminacija s kloridi. To je primer kovanca št. 1004/20; svetlozelena barva konkrecij ter morfologija in pitting korozije so znamenja »raka brona« (Sl. 9).

Rentgenska fluorescenčna spektrometrija (XRF)

Nekatere izdelki smo analizirali s pomocijo rentgenske fluorescenčne spektrometrije (XRF), da bi opredeli sestavine zlitine in ugotovili morebitno prisotnost onesnaževalcev.

Analizirani izdelki so: kovanec Kraljevine Italije po 5 centov iz leta 1941 (rep. 1004/20), nečitljiv kovanec (rep. 5-18/1), beneški sočl vrednosti 12 denarjev (bagattini) iz leta 1631 (rep. 6000), malo močerni pečat (rep. 1005/5), zibiška utež za mrežo (rep. 5127/1), komaj čitljiv okrogel pečat ali ploščica (rep. 5155/1), domnevno srgalno rezilo (rep. 1-50/4).

V sliki 6 so navedeni rezultati spektrometrije XRF (Philips MiniPal). Vrba je poudariti, da je pri tej tehniki analiza delno količinskega značaja, zato so odstotne vrednosti samo orientacijske narave.

Analiza na predmetu 1004 je dokazala, da je kovanec iz zlitine bakra in alumirija, "monovare Bronzita", ki je bila v uporabi v štiridesetih letih in še kasneje za izdelavo kovanec. Kovavec št. 51-8 pa je izdelan iz bakrene zlitine z nizkim odstotkom kositra. Ti podatki potrjujejo domnevo (ki temelji na premeru, teži in splošnemu videzu), da bi lahko šlo za kovanec za 10 centov (»Čebela«) kralja Vik-

tosion layer was a hollow shell (Fig. 7).

The lead objects without concrections and alterations generally presented thin deposits of whitish or brown material sometimes subject to producing dust. However, some finds under contact microscope observation, for example in the case of tile 5-55, revealed small superficial cracks that could damage the original surface during the subsequent preservation of the object (Fig. 8).

The copper alloy objects presented various situations, characterised by patinas or incrustations of alteration products of green/blue colour. These patinas generally have a base of stable copper carbonate; however, because of exposure to the marine environment, contamination from chlorides is also likely to have occurred. This is the case for coin 1004/20 where the light green colour of its concretions and corrosion pitting pointed to the called 'bronze cancer' (Fig. 9).

X Ray Fluorescence Spectroscopy

Some artefacts were submitted to X Ray Fluorescence Spectroscopy to identify the main elements constituting the alloy and to evaluate the presence of contamination.

The analysed pieces were: a 5 cents coin of the Kingdom of Italy from 19/1 (find 1004/20), an illegible coin (find 5118/1), a Venetian "12 bagattini" coin from 1631 (find 6000), a small modern seal (find 1005/5), a weight for fishing nets (find 5127/1), a seal or circular tile difficult to read (find 5155/1), and presumably a scraper blade (find 1-50/4).

Fig. 10 reports the XRF results obtained (Philips MiniPal). It should be noted that the method used a

bonati basici di zame stabili, tuttavia, data l'esposizione all'ambiente marino, è possibile una contaminazione da cloruri. È il caso della moneta 1004/20: il colore verde chiaro delle concrezioni e la morfologia a pitting della corrosione ha suggerito l'identificazione del cosiddetto "cancro del bronzo" (fig. 9).

Spettroscopia di Fluorescenza X (XRF)

Alcuni manufatti sono stati sottoposti ad 'indagini' spettroscopiche in Fluorescenza X (XRF) per identificare gli elementi principali costituenti la lega e per valutare l'eventuale presenza di contaminanti.

I reperti analizzati sono stati: una moneta del Regno d'Italia da 5 centesimi del 1941 (rep. 1004/20), una moneta illeggibile (rep. 5118/1), un soldo veneziano da 12 bagattini del 1631 (rep. 6000), un piccolo sigillo moderno (rep. 1005/5), un peso da rete (rep. 5127/1), un sigillo o tessera circolare poco leggibile (rep. 5155/1), una presunta lama di raschietto (rep. 1150/4).

In Fig. 10 sono riportati i risultati XRF ottenuti (Philips Minipal). Va sottolineato che, nella modalità utilizzata, l'analisi è semi-quantitativa, dunque i valori percentuali sono solo indicativi.

L'esito dell'analisi sul reperto 1004 indica che la moneta è stata coniata in una lega zame-alluminio, chiamata Bronzital e impiegata negli anni Quaranta e successivamente per la produzione di monete.

La moneta 5118 risulta invece costituita d'una lega d'rame con una piccola percentuale di stagno. Ciò avvalorà l'ipotesi (basata su diametro, peso e aspetto generale) che possa trattarsi di una moneta da 10 centesimi "Ape" di Vittorio Emanuele III. Queste monete infatti erano coniate in Cu 950/1000, Sn 40/1000, Zn 10/1000.

L'analisi del reperto 6000 indica la presenza di una bassa percentuale di argento nel a lega ci rame. Il dato è in-

torja Emanuela III. Te kovance so namreč izdelovali iz: Cu 950/1000, Sn 40/1000, Zn 10/1000.

Iz analize prečmela 6000 pa izhaja prisotnost nizkega odstotka srebra v bakreni žitinji. Podatek je skladen z bibliografskimi podatki (PAPADOPOLI 1919; Corpus Numorum Italorum 1917) o kovanju bereskega sol da vrednosti 12 denarjev (bagattini) za časa doža Nicoda Cortarinija.

Pri nobjem kovancu nismo naleteli na sleči posebnih razkrojnih procesov (treba je vsokatkor upoštevati, da analiza XRF izvedena neposredno na prečmetih, ne nudi verodostojnih rezultatov glede prisotnosti klorja). Kovanc št. 1004 je bolje ohranjen od kovanca št. 5118, kar gre pripisati njegovim žitinam: aluminijski s primesjo bakra je namreč odpornnejši na korozijo.

Za predmete št. 1005, 5127 e 5155, je analiza potrdila, da so sestavljeni iz svinca. Prisotnost kalcija potrjuje hipotezo o prisotnosti svinevega karbonata na površini izdelkov. Prisotnost silicija, drugih sekundarnih elementov in kalcijevih delov gre verjetno pripisati sledem iz terena (glej XRF analizo primerkov usedlin). Žvepljeni, zaradi česa lahko sklepamo, da je prisotnost svinčnih sulfidov neznatna.

Predmet št. 1150 je izdelan iz železnega materiala. Sklop sekundarnih elementov potrjuje, da je debela plast koroziskih produktov sestavljena iz prsti, oksičov in železovih hidroksidov. Posebnost predstavlja visok izmerjeni odstotek kalcija, ki ga gre verjetno pripisati obilju karbonatnih skorji.

Fourierjeva transformacijska infrardeča spektroskopija (FTIR)

Za opredelitev značaja navidezno stabilnih patir na izdelkih iz bakrene žitine smo se osredotočili na najdbo št. 6000/sez. Gre za bereski sold vrednosti 12 cenar-

semi-quantitative analysis, therefore the percentage values are only indicative.

The result of the analysis on find 1004 indicates that the coin was minted with the copper aluminium alloy called Bronzital and used in the Forties, and subsequently for the production of coins.

Coin 5118 was made up of a copper alloy containing a small percentage of tin. This supports the hypothesis (based on diameter, weight, and general appearance) that it may be a 10 cent 'Ape' coin of Victor Emmanuel III. In fact, these coins were minted in Cu 950/1000, Sn 40/1000, and Zn 10/1000.

The analysis of find 6000 indicated the presence of a low percentage of silver in the copper alloy. This data is in agreement with that found in literature (PAPADOPOLI 1919; Corpus Numorum Italorum 1917) about the minting in silver copper of the Venetian '12 bagattini' coin under Doge Nicolo Cortarini.

None of the coins shows any elements indicating particular degradation processes (it should be considered that XRF does not give reliable results about the presence of chlorine, when carried out directly on the find and under these instrumental conditions). The better preservation condition of coin 1004 compared to 5118 seems to be due to the alloy of which it is composed, considering that the addition of aluminium to copper improves resistance to corrosion.

The analysis confirmed that artefacts 1005, 5127, and 5155 are made from lead. The presence of silicon, secondary elements and calcium may be reasonably attributable to traces of soil (see XRF spectra carried out on sediment samples). The absence of sulphur seems to indicate that the presence of lead sulphides is not particularly significant.

Artefact 1150 is made from ferrous material. The pattern of secondary elements confirms that dirt, oxides,

accordo con quanto reperito in bibliografia (PAPADOPOLI 1919; Corpus Numorum Italicorum 1917) circa il conio in mistura rame argento del soldo veneziano da 12 bagačni sotto il Doge Nicolò Contarini.

Per nessuna delle monete sono stati rivelati elementi che indichino particolari processi di degrado (bisogna però tener conto che l'XRF eseguito direttamente sul reperto e con queste condizioni strumentali non dà risultati attendibili circa la presenza di cloro). Il migliore stato di conservazione della moneta 1004 rispetto alla 5118 sembra dovuto all'acqua di cui è composta, considerato che l'alluminio addizionato al rame ne migliora la resistenza alla corrosione.

Per quanto riguarda i manufatti 1005, 5127 e 5155, l'analisi conferma che si tratta di oggetti in piombo. La rilevazione di piombo avvalorà l'ipotesi della presenza di carbonati di piombo sulla superficie dei manufatti. La presenza di silicio, di altri elementi secondari e di parte del calcio, possono essere ragionevolmente attribuibili a tracce di terreno (cfr. spettri XRF eseguiti sui campioni di sedimenti). L'assenza di zolfo pare indicare invece che la presenza di sulfuri di piombo non sia particolarmente significativa.

Il manufatto 1150 risulta costituito di materiale ferroso. Il pattern di elementi secondari conferma che lo spesso guscio di prodotti di corrosione che circonda l'oggetto è formato da terriccio, ossidi e incrostazioni di ferro. Un'anomalia sembra essere l'alta percentuale di calcio rilevata, probabilmente dovuto a cospicue incrostazioni carbonatiche.

Spettroscopia Infrarossa in Trasformata di Fourier (FTIR)

In relazione alla necessità di accettare la natura delle patine apparentemente stabili osservate sui manufatti in lega di rame, particolare attenzione è stata riserva-

ta (bagattini) iz zlizne bakra in srebrza, kovan leta 1631 med kraljico vladivo doža Nicolòja Contarinija. Pri avtoptičnem pregledu je predmet izgledal v dobrem stanju, bil je cel, črke in podobe pa so bile večinoma čitljive. Kovanc se našli med zidaki v zidu, ki je potekal okoli od sekira primerka 6000, kar je zagotovilo boljšo ohranitev v primerjavi z izdelki, 'ukopanimi' v tal. Po odstranitvi površinske umazanje je kovanc bil pokrit z luskami tanko sivaste patine, izpod katere so glečali okrogle temnozelene skorijice (podobne malahitu) (Sl. 11) poleg spremenjenih rdečastih območij.

Z metodo FTIR (v kombinaciji s KBr) smo analizirali vzorce sive patine (vzorec A), zelene skorije (B) in rdečih tvorb (C), da bi identificirali prisotne degradacijske proizvode.

V spektru vzorca A (Sl. 12) opazimo značilna znamenja silikatov (z vrhuncem pri 1028 cm^{-1} in intervalski razpon okoli vrednosti 472 cm^{-1}), karbonatov (z vrhuncem pri 1448 cm^{-1} in 876 cm^{-1}). Spekter odlično svopada s spektrom illita (glinastega minerala) in kalcita. Na osnovi teh vrst in primejave s spektiri, zabeleženimi pri sedimentnih vzorcih z območja 1000 ugotovimo, da material sestavljajo ostanki izkopne prsti.

Sčaka vzorcev B in C (Sl. 13) sta podobne, a z različno jakostjo vzhunskih vrednosti. V obeh spektralnih profilih najelimo na značilne lastnosti silikatov in karbonatov, vendar so pri vzorcu B vzhunske vrednosti večko bolj izrazite in opozarjajo na markantnejšo prisotnost karbonata. V spektru opazimo dva vrhunci pri vrednosti 3445 cm^{-1} in 3335 cm^{-1} , značilna za hidrokside, in čebo viden značaj okoli vrednosti 610 cm^{-1} , ki ga lahko interpretiramo kot Cu-O. Ti dve značilnosti, kot tudi razgiban profil med 1000 cm^{-1} in 850 cm^{-1} , so značilni za spektre hidrokskloridov, kačična sta Atakamit ($\text{Cu}_2(\text{OH})_3\text{Cl}$) in Parataksamit.

and hydroxides of iron formed the thick shell of corrosion products that surrounds the object. The high percentage of calcium seems to be an anomaly, probably due to substantial carbonate deposits.

Fourier Transform Infrared Spectroscopy

Special attention was reserved to find 6000/sez in order to establish the nature of the stable patinas observed on the copper alloy artefacts. As previously mentioned, this is a Venetian '12 bagattini' coin, made from silver copper alloy, minted in 1631 during the brief period of Doge Nicolò Contarini. Upon autoptic exam, the find appeared to be in fairly good condition, intact and both the inscriptions and the figure readable. The coin was found amongst the bricks of the wall that bordered the 6000 section, which seems to have ensured a better preservation of the piece compared to the artefacts found in the soil. Once free from the superficial dirt deposits, the coin appeared to be coated with a thin greyish patina, from which dark green globular incrustations similar to malachite flaked off (Fig. 11) as well as reddish coloured alteration zones.

Samples of the grey patina (sample A), the green incrustations (B) and the reddish products (C) were analyzed by using FTIR (in KBr pellet) in order to identify the degradation products.

The spectrum relative to sample A (Fig. 12) shows the characteristic signs of silicates (the intense peak at 1028 cm^{-1} , the round band at 472 cm^{-1}) and carbonates (peaks at 1448 cm^{-1} and 876 cm^{-1}). The spectrum shows correspondences with illite (a clayey mineral) and calcite spectra. Based on these results and in comparison with the recorded spectra of sediment samples from area 1000, the sample A turned out to be composed of excavated soil residues.

ta al reperto 6000/sez. Si tratta, come già riportato, di un soldo veneziano da 12 bagattini, in lega rame-argento, coniato nel 1631 durante il breve dogado di Nicolò Contarini. All'esame autoptico il reperto è apparso in di secreto e stato di conservazione, appariva integro e in gran parte leggibile, sia per quanto riguardava la legenda che la figurazione. La moneta era stata rinvenuta tra i mattoni del muro che definivano la scissione del saggio 6000, circostanza che sembra aver garantito una migliore conservazione del pezzo, rispetto ai manufatti rinvenuti nello stesso. Liberata dai depositi di sporco superficiale, la moneta appariva ricoperta da scaglie di una sottile patina grigiastra dalla quale affioravano incrostazioni di colore verde scuro e forma globulare (simili a malachite) (Figura 11) o tre a zone di alterazione di colore rossiccio. Campioni della patina grigia (campione A), delle incrostazioni verdi (2) e dei prodotti rossastri (C), sono stati analizzati con FTIR (in pastiglia di KBr) allo scopo di identificare i prodotti di degrado presenti.

Lo spettro relativo al campione A (Fig. 12) presenta i segnali caratteristici dei silicati (il picco intenso a 1028 cm^{-1} e la banda attorno a 472 cm^{-1}), dei carbonati (picchi a 1448 cm^{-1} e 876 cm^{-1}). Lo spettro mostra inoltre una corrispondenza con quello dell'illite (un minerale argilloso) e della calcite. In base a questi risultati e dal confronto con gli spettri registrati sui campioni di sedimento dell'area 1000, il materiale risulta composto da residui del terreno di scavo.

Gli spettri dei campioni B e C (Fig. 13) sono simili ma con intensità dei picchi diverse. In entrambi i profili spettrali si riscontrano i segnali relativi a silicati e carbonati, tuttavia per il campione B tali picchi sono nettamente più marcati indicando una presenza più significativa in particolare del carbonato. Gli spettri sono inoltre caratterizzati da una coppia di picchi a 3445 cm^{-1} e 3335 cm^{-1} .

Čeprav ni mogoče zagotovo opredeliti seslavine vzorcev B in C, so v njih verjetno prisotne kloridne spojine, pa čeprav v majhni meri, ki lahko ogrožajo ohranitev izdelka.

5.5.4.2 Diagnostični zaključki in napotki za restavriranje

Opravljeni raziskave so prispevale k opredelitevi stanj ohranitve izdelkov in lahko pripomorejo k izbir nadaljnji posegov. Treba je odstraniti debelé skorje presti in železovih hidroksidov, ki prekrivajo železne izdelke, ki bi tako postali čitljivi, stabilizirali pa bi se tudi korozijski postopki na sreču meč kovino in alteracijskiimi produkti. Na bronestih deih se zdi priporedljivo dejanje ocstrariti in stabilizirati modrozelene tvorbe; te se sicer ob avtomatičnem pregledu zcijo v glavnem stabilne, vendar analiza ne izključuje prisotnosti kloridov. V primeru svrženih izdelkov je treba preveriti možnost čiščenja karbonatnih patin in pri tem paziti na kaznost površine.

5.5.5 Testiranje restavriranja

Izbrali smo sklep osmih najčeb (Sl. 14) šuri izmed katereh iz železa in štiri iz bakrene zličice, ki so bili pred meti posegov za restavriranje in ohranjanje. Ob koncu obdelave smo na sedmih izmed osmih izdelkov izvedli test obrambitve, da bi preverili in podrobno primerjal učinkovitost različnih posegov.

5.5.5.1 Ohranitveni ukrepi

Pri restavriranju izdelkov smo se oprijeli na vodila in na nekatere postopke, ki so v splošni rabi na področju konservarjanja arheoloških zavor (MARABELLI 1995). Izpira postopka, ki naj bi ga si deležen vsak izdelek, je

The spectra of samples B and C (Fig. 13) are similar but with different peak intensities. In both the spectral profiles, absorptions relative to silicates and carbonates were found; and these absorptions peaks were higher in sample B, indicating a probably higher presence of carbonates. The spectra are also characterised by the typical absorptions of hydroxides couple 3445 cm^{-1} and 3335 cm^{-1} and by a well defined signal around 610 cm^{-1} due to the Cu O bond. These two characteristics, along with the jagged profile between 1000 cm^{-1} and 850 cm^{-1} , are characteristics of the copper hydroxychlorides spectra such as Atacamite ($\text{Cu}_2(\text{OH})_6\text{Cl}$) and Paratacamite.

The components of samples B and C cannot be identified with certainty but the limited presence of chlorinated compounds, which are potentially damaging for the find, is probably.

5.5.4.2 Diagnostic conclusions and guidelines for restoration

The investigations have supplied useful indications about the conservation state of the artefacts and can guide the subsequent work phases. It is necessary to remove the thick incrustations of soil and iron hydroxides that coat the ferrous materials in order to reduce the corrosion processes, that occur in the interface between metal and alteration products, and give back legibility to the artefact. The analyses have not totally excluded the presence of chlorides, therefore reducing and stabilising the blue/green incrustations, although stable by autoptic examination, is required. Regarding the lead finds, cleaning of the carbonate patinas should be tested with careful attention: with particular attention to the surface fragility.

cm^{-1} , tipici degli idrossid, e da un segnale ben definito attorno a 610 cm^{-1} , attribuibile al legame Cu-O. Queste due caratteristiche, insieme al profilo spettrale fatto tra 1000 cm^{-1} e 850 cm^{-1} , sono caratteristici degli spettri degli idrossicloruri di rame quali l'Atacamite ($\text{Cu}_3(\text{OH})_2\text{Cl}$) e la Paratacamite.

Norostante dunque non sia possibile identificare con certezza i componenti dei campioni B e C, sembra probabile la presenza, seppur limitata, di composti clorurati, potenzialmente dannosi per il reperto.

5.5.4.2 Conclusioni diagnostiche e orientamenti per il restauro

Le indagini svolte hanno fornito cinque indicazioni utili alla conoscenza dello stato di conservazione dei manufatti e possono indirizzare le successive fasi di intervento. Appare necessario procedere all'eliminazione delle spesse incrostazioni di terreno e idrossidi di ferro che ricoprono i materiali ferrosi, allo scopo di recuperarne la leggibilità e procedere alla stabilizzazione dei processi di corrosione che avvengono all'interfaccia metallo/prodotti di alterazione. Sui bronzi sembra opportuno l'alleggerimento e la stabilizzazione delle incrostazioni blu/verdi poiché, nonostante esser appaiate generalmente stabili all'esame au-optico, le analisi non hanno tuttavia escluso la presenza di cloruri. Per i reperti in piombo anchebbe valutata una pulizia delle patine carbonatiche con particolare attenzione all'rifragilimento della superficie.

5.5.5 Testare il restauro

Un gruppo di otto reperti (Fig. 14), quattro in ferro e quattro in lega di rame, è stato scelto per essere sottoposto a interventi di conservazione e di restauro. Al termine

del restauro si è quindi provveduto a testare i risultati ottenuti in modo da valutare la validità delle diverse tecniche adottate.

Za čiščenje smo za oba kategorij izdelkov izbrali kombinacijo mehanskih in kemijskih metod, s katere bi posejno in na nadzorovan način odstranili površinske skoje. Mekansko čiščenje, opravljeno predvsem s kirurškim nožem, se je torej vrstilo s pranjem in impregniranjem z raznimi sredstvi.

Glede na posamezni primer smo izdelke iz bakrene žltine smo za lažjo odstranitev usedlin uporabili v vodri raztopini Seignettovo soli s 3% koncentracijo, ali amonijevega tartrata s 1% koncentracijo, ali Tween20 s 2% koncentracijo. Seignettov sol in amonijev tartrat delujejo kot komponenta na katione (predvsem na ione Ca_{II}) in menjava površinske strukture (predvsem carbonatne), Tween20 pa je neionska površinsko aktivna snov, ki odstranjuje pršno patino.

V primeru železnih izdelkov pa smo uporabili 3% raztopino trinatrijevega EDTA trisodico kot katalitno sredstvo za skoje in olje za meličanje rje.

Bronaste izdelke smo stabilizirali z obdelavo z natrijevin seskvikarbonatom (5% raztopina) in benzotriazolom (3% alkoholna raztopina). Natrijev seskvikarbonat prevarja in očistjuje klorične produkte, medtem ko benzotriazol (BTA) preprečuje korozijo in obstiku z bakrom (ki je prisoten v žilini in patinah) tvori netopre komplekse in preprečuje načajne reakcije. (WA 'KINSON 2010)

Za želico smo se odčeli za postopek za stabilizacijo rje (s sredstvom Owatrol OI) in za zaustavitev postopekov korozije železa s tudično kisino, ki ob stiku s kovinskim substratom tvori netopre komplekse, ki ščitijo pred nadaljnjjim delovanjem zurenih čečavnikov. (WA 'KINSON 2010)

Pri zaščitnem posegrinabrorastih premetih smo s

5.5.5 Testing the restoration

A group of 8 finds (Fig. 14), four iron and four copper alloy, was chosen to be subjected to conservation and restoration processes. At the end of the treatment, seven out of eight finds have been submitted to stress test to verify and compare the effectiveness of the different types of operation.

5.5.5.1 The conservative operation

The restoration of the pieces followed the guidelines and some of the procedures commonly adopted in the field of archaeological metal conservation (MARABBI 1995). The choice of the treatment to be performed on each artefact depended on the type of degradation processes and is described in Fig. 14.

In order to carry out a gradual and controlled removal of surface incrustations, we chose a cleaning procedure for both classes of finds that was a combination of chemical and mechanical methods. Mechanical cleaning, mainly performed with a scalpel, was alternated with washing and soaking with different products.

Depending on each case, the washing baths used to facilitate removal of deposits from the copper alloy artefacts were aqueous solutions made up of potassium sodium tartrate at 3%, ammonium tartrate at 1%, and Tween20 at 2%. Potassium sodium tartrate and ammonium tartrate softer the surface incrustations (especially carbonate incrustation) acting as complexants (especially on Ca_{II} ions), whereas Tween20 is a non-ionic surfactant effective on the powdery patina.

Trisodium EDTA at 3% as a chelator for dissolving the incrustations, and dissolving oil to soften the rust on ferrous artefacts were used.

mine del trattamento, sette degli otto reperti sono stati sottoposti a un test di stress per verificare e confrontare l'efficacia delle differenti tipologie d'intervento.

5.5.1 L'intervento conservativo

Il restauro dei pezzi ha seguito le linee guida e alcuni dei procedimenti comunemente adottati nel campo della conservazione dei metalli archeologici (MARABBI, 1995). A scelta del trattamento da operare su ciascun manufatto è stata indirizzata dalle tipologie e dalla gravità dei processi di degrado riscontrati ed è descritta nella Fig. 14.

Riguardo alla pulitura, per entrambe le classi di reperti si è scelto di procedere con una combinazione di metodi chimici e meccanici al fine di effettuare una rimozione graduale e controllata delle incrostazioni superficiali. La pulitura meccanica, eseguita prevalentemente a bisturi è stata dunque alternata a lavaggi e impregnazioni con differenti prodotti.

Per i manufatti in lega di rame, i bagni di lavaggio utilizzati per facilitare l'eliminazione dei depositi sono stati, a seconda dei casi, soluzioni acquose di sale di Seignette al 3%, di taurato d'ammonio al 1%, di Tweer 20 al 2%. I Salì di Seignette e il taurato d'ammonio, grazie al loro potere complessante sui cationi (in particolare sugli ioni Ca^{+2}), agiscono sulle incrostazioni superficiali ammoniando (in particolare quelle carbonatiche), mentre il Tweer 20 è un tensioattivo non ionico efficace sulla patina polverulenta.

Per i manufatti in ferro invece si è utilizzato EDDTA trisodico al 3% come chelante per le incrostazioni e uno disincrostante per ammoniare la ruggine.

La stabilizzazione dei pezzi in bronzo è avvenuta tramite trattamento con sesquistocarbonato di sodio (soluzione al 5%) e benzotriazolo (soluzione alcolica al 3%). Il sesquistocarbonato di sodio converte e elimina i prodotti clo-

rofiliici riportati sull'incalac (10% растворина в белом спирту). Површину смо налего премазали z namazom Soter 501/OC. Incalac je polimerični proizvod, namenjen konzerviranju brona. Njegovi sestavini sta Paraloid B44 (kopolimer etilmetakrilat/butilakrilat) in Benzotriazol: prvi ščiti kovinsko površino pred zunanjim okojem, drugi pa preprečuje korozijo. (WATKINSON 1995) Železo pa smo zaščitili s namazom namaza Soter 201/FH, mešanice kristalnih voskov in organskih polimrov, ki ščitijo izdelke pred vlago.

5.5.2 Test v klimatski komori

Nakoncu restavratorskega postopka smo želeli preveriti učinkovitost opravljenih posegov glede odstranjevanja nevarnih produkrov in zaščite pred dodatno korozijo, ki jo povzročajo zunanjji okoljski dejavniki.

Restavratorje predmete smo torej 30 dni pustili v klimatski komori pri 95% relativne vlagi. Za primerjavo smo isti test opravili na sklopu nerestavriranih predmetov, najčetřih na istih stratigrafskih enotah kot tisti, na katerih smo opravili konzervativne posege.

Ocenjevanje rezultatov je potekalo na osnovi makroskopskega in mikroskopskega opazovanja predmetov in analize njihove površine s FTIR in ATR.

V primeru predmetov iz bakrena zlitin vizuelna pri merjava pred testom in po njem ni pokazala vidnih sprememb.

Mikroskopska analiza potrjuje mikroskopsko opazovanje, čeprav je opaznih nekaj minimalnih sprememb. Pregled kovanca št. 1004/20, na katerem sta bila vidna pojava cvetenja in alkalicizacije zarači kloridov (t. i. »rak brona«) je navidezno dokazal, da sta bila čiščenje in stabilizacija učinkovita: kljub visoki stopnji vlagi ni bilo vidno nikakršno reaktiviranje teh degradacijskih postopkov.

The stabilisation of the bronze pieces was achieved through treatment with sodium sesquicarbonate (solution at 5%) and benzotriazole (alcohol solution at 3%). The sodium sesquicarbonate converts and removes chlorinated products, while the benzotriazole (BTA) acts as a corrosion inhibitor by forming insoluble complexes with the copper present in the alloy and the patinas, preventing further reactions (WATKINSON 2010). Owalrol Oil to stabilise rust and tannic acid (which forms insoluble complexes with the metal substrate) to inhibit the iron corrosion processes were chosen as treatments on iron finds with the aim of preserving from further alterations caused by external agents (WATKINSON 2010).

The protective treatment for the bronzes was carried out by incalac brushing (with 10% white spirit) and by superficial waxing with Soter 501/OC surface wax. Incalac is a polymeric product formulated for the preservation of bronze, composed by Paraloid B44 (copolymer of ethyl methacrylate/butyl acrylate) and Benzotriazole, respectively aim to shield the metal surfaces from the external environment and to inhibit corrosion (MARABBI, 1995).

On the iron pieces, the protective layer was formed by applying only Soter 201/FH wax, a mixture of crystalline waxes and organic polymers, to isolate the artefacts from moisture.

5.5.2 Testing in the climatic chamber

At the end of the restoration process, the finds were tested to evaluate the efficiency of the treatments in terms of their ability to remove hazardous products and the protection from further corrosion processes caused by the external environment.

rurali mentre il benzotriazolo (BTA) agisce da inhibitore di corrosione formando complessi insolubili con il rame (presente in lega e nelle patine) sottraendolo a ulteriori reazioni (WATKINSON 2010).

Per il ferro invece si è scelto un trattamento di stabilizzazione della ruggine con Owatrol Oil e di inibizione dei processi di corrosione del ferro utilizzando acido tannico, che forma con il substrato metallico dei complessi insolubili, preservandolo da ulteriori azioni da parte degli agenti esterni (WATKINSON 2010).

Il trattamento protettivo sui bronzi è stato effettuato mediante stesura a pennello di Inralac (a 10% in white spirit) seguita da una ceratura superficiale con cera Soter 50°/OC. L'Inralac è un prodotto polimerico formulato per la conservazione del bronzo i cui componenti, il Paracid B44 (copolimero etilmetacrilato/butilacrilato) e il Benzotriazolo, mirano rispettivamente a schermare la superficie metallica dall'ambiente esterno e inibire la corrosione (MARABELLI, 1995).

Sui ferri invece lo strato protettivo consiste nella stesura della sola cera Soter 201/FE, una miscela di cere cristalline e polimeri organici, applicata allo scopo di isolare il manufatto dall'umidità.

5.5.5.2 Il test in camera climatica

Al termine del restauro, si è voluto testare l'efficacia dei trattamenti eseguiti in termini di capacità di eliminazione dei "pocolos" e di protezione da ulteriori processi di corrosione dovuti all'ambiente esterno.

I manufatti restaurati sono stati dunque posti per 30 giorni in camera climatica a 95% di umidità relativa. Un set di reperti non restaurati, provenienti dalle stesse unità stratigrafiche di quelli sottoposti a trattamento conservativo, è stato oggetto del medesimo test per ottenere una base di confronto.

Mikroskopski pregled je pokazal, da so se na predmetu pojavile majhne črne pike. Te se pogosto pojavljajo na bronestih izdelkih, obdelarih s seskvikarbonatom. Vezje je, da gre za rezeleno spremembo kuprita (Cu_2O) v zornit (CuO) zaradi oksidacije. (POLLARD 1980) (Sl. 15) Pri železnih predmetih je bila reakcija kompleksnojša. Na predmetih 1003/13 (žebelj) in 1150/4 (rezilo) na vičozni bilo korozijskih pojavov, a površina oben je bila prekrita z gostimi belkastimi vlačnimi. Mikroskopska analiza je potrdila domnevno, da gre za bujno rast gliv.

Čeprav so mikrokristalni voski, ki se uporabljajo v restavratorstvu, v glavnem odnorne na biološki razkroj, se v prisotnosti visoke stopnje vlage in visoke temperature lahko prijeti, da mikrobioške agregacije bakterij in gliv (med njimi vrste, ki spadajo v rod *Aspergillus*) lahko presnavljajo in razkrivajo ogljikovočikove verige teh proizvodov. To je bilo dokazano bodisi pri laboratorijskih simulacrih kot v dejanskih primerih arheoloških zbirk. (ZAITSEVA 2005)

Na najdbah št. 1005/2 (ključ) in 1005/1 (obtežilni žebelj) pa so bili vidni obsežni korozijski pojavovi. Površino predmetov so prekrivale globularne tvorbe v obliki mehurčkov zumento oranžne tekočine ter obloge okrogle oblike; te obloge so male vojle lupine različnega premora (do 2-3 mm), njihova barva pa nihaja od oranžne do zjave. (Sl. 16)

Ta degracijski pojav, znani pod imenom weeping, je značilen za arheološko želzne predmete in je posledica učinkovanja železovih kloričev. Razvrej raziskave so dokazale, da tečoče kaplje vsebujejo visoke koncentracije Fe^{2+} in Cl^- , maja kisih pH in so posledica delikvescenca kloridov $Fe(II)$ in $Fe(III)$. Trdne lupine pa nastajajo zaradi precipitacije $FeOOH$ ob stiku med kapljami in zrakom zaradi oksidacije in hidrolize Fe^+ , ki je prisoten v samih zapojah. (SILWIN 1999)

Both the restored artefacts and a set of non-restored pieces from the same stratigraphic unit were placed in a climatic chamber at 95% relative humidity for 30 days to create a basis for comparison.

The results were evaluated basing on the macroscopic and microscopic exam of the pieces and the surface analyses of the artefacts by FTIR in ATR.

The visual comparison before and after the test did not show any significant changes in the copper alloy artefacts.

The investigation under microscope confirmed what was observed macroscopically with some minor changes. The examination of find 1004/20 (coin), on which efflorescences and pitting caused by chlorides (the so called 'bronze cancer') were found, confirmed that clearing and stabilisation were effective. Despite the high humidity, there were no discernible signs that these degradation processes have been reactivated.

The microscope images showed small black spots on the finds. This phenomenon has often been found on bronzes subjected to treatment with sesquicarbonate and may be due to the unwanted oxidation reaction of cuprite (Cu_2O) with tenorite (CuO) (POLLARD 1980) (Fig. 15).

The iron finds showed a more complex behaviour.

In the samples 1003/13 (nail) and 1150/1 (blade) no traces of corrosion of both artefacts were present, but dense whitish filaments on the surface were visible. Microscope observation confirmed that the whitish filaments depended on widespread fungal growth.

Although in the restoration field crystalline waxes are generally considered stable to biodeterioration, bacteria and fungi (including species belonging to the *Aspergillus* genus) have proved to be able to metabolize and

La valutazione dei risultati è stata effettuata sulla base dell'esame macroscopico e microscopico dei pezzi e dell'analisi della superficie dei manufatti con FTIR in ATR.

Il confronto visivo prima e dopo il test non sembra evi denziare cambiamenti apprezzabili nei manufatti in lega di rame.

L'indagine al microscopio conferma in linea generale quanto osservato macroscopicamente, sono però ri scontrabili alcune minime modificazioni.

L'esame del reperto 1004/20 (morsa), sul quale erano state riscontrate efflorescenze e alveolizzazioni causate da cloruri (il cosiddetto "cancro del bronzo"), sembra confermare che la pulitura e la stabilizzazione siano state efficaci: nonostante l'alto tasso di umidità non sono riscontrabili segni di riattivazione di tali processi di degrado.

Le immagini al microscopio evidenziano la comparsa sul reperto di piccoli spot di colore nero (Fig. 15). Questo fenomeno è stato frequentemente rilevato in bronzi sottoposti a trattamento con sesquicarbonato e pare essere dovuto alla reazione indesiderata di ossidazione della cuprite (Cu_2O) in tenorite (CuO) (POLLARD 1980).

I reperti in ferro hanno mostrato un comportamento più complesso.

I campioni 1003/13 (chiudo) e 1150/4 (lama) non sembravano presentare tracce di fenomeni corrosivi, tuttavia la superficie di entrambi i manufatti era ricoperta da fitti filamenti biancastri. L'osservazione al microscopio ha confermato l'ipotesi che si trattasse di una diffusa crescita fungina. Nonostante nel settore del restauro le cere microcristalline siano generalmente considerate stabili al biodeterioramento, in condizioni di alte umidità e temperature, consorzi microbiologici di batteri e funghi (tra cui specie appartenenti al genere *Aspergillus*)

Na površini se pojavljoju še mali maleži prašnega materiala živooranje barve. Morda gre za Akaganéit, železov hidroksid (β -FeCOH), ki nastaja v poizkupnih fazah kot posledica korozivnih procesov na železnih predmetih z visoko koncentracijo klorida. (SELWIN 1999) Pojava te vrste degradacije morda ne gre pripisati neučinkovitemu restavratorskemu posegu (ki je bil na oba predmeta različen), temveč nujnemu začetnemu stanju ohraritve, odvisnemu od okolja, kjer sta predmeta ležala. Hipotezo potrjuje dejstvo, da edina črna predmeta iz primerja neha sklop, na katerem se je pojavil weeping, izvirala iz enote 1005.

5.5.5.3 Analiza FTIR in ATR na zaščitah

Kemijsko stabilitet zaščitne plasti smo ocenili s to analitično metodo, ki na neinvaziven in nedestruktiven način, zaznava infrardeči spekter površine vzorca. Predmet št. 1004 smo analizirali pred in po testu v klimatski komori, da bi preverili morebitne spremembe v kemijski sestavi zaščitne plasti, na kateri pri vizuelni analizi niso bilo videti nobene spremembe.

Spekter (Sl. 17), zabeležen pred obdelavo, se ujema s spektrom, opisanimi v bibliografskih virih za sredstvo In cralac in mikrokristalno vosko. (BROSTOFF 2005; DER RICK 1999)

Značilnosti, ki jih je mogoče pripisati akrilnemu pojmeru, so: 2955 cm^{-1} (stretching vez C-H), pri 1722 cm^{-1} (stretching estrove vez C=O), razpon občih intervalov 1300 cm^{-1} in 1500 cm^{-1} (benčing vez C-H), razpon intervala od 1100 cm^{-1} in 1300 cm^{-1} (stretching vez C-O). Za mikrokristalno vosko pa sta značilna dva viška vrednosti pri 2920 cm^{-1} in 2850 cm^{-1} (zadri vibracij pri raztezanju metilnih/metilenih erot).

Spekter, posnet po testu v klimatski komori, izkazuje nekaj manjših sprememb. Opazra je razširitev razpona

degrade the hydrocarbon chains of these products under high humidity and temperature conditions. This has been demonstrated both in laboratory simulations and in real cases of archaeological collections (ZAITSEVA 2005).

Finds 1005/2 (keys) and 1005/1 ('weighing' nail) were affected by widespread corrosion (Fig. 16). The surfaces of the artefacts were covered by orange yellow liquid bubble or spherical incrustations (up to 2-3 mm), characterised by colouring ranging from orange to brown. This type of corrosion, called weeping, is characteristic of ferrous materials of archaeological origin and is due to the action of the iron chlorides. According to literature, the liquid drops contain high concentrations of Fe^{2+} and Cl^- , have acidic pH and are the result of the efflorescence of $\text{Fe}(\text{II})$ and $\text{Fe}(\text{III})$ chlorides. However, the solid shells are due to iron oxide hydroxide precipitation at the interface between the drop and the air, following the oxidation and hydrolysis of Fe^{2+} present in these drops (SELWIN 1999). The surface has small flecks of a bright orange powdery material. It could be Akaganéite, an iron oxide hydroxide (β -FeOOH) that forms after corrosion processes in the post-excavation phases that have a high concentration of chlorides (SELWIN 1999).

This kind of corrosion does not depend on the efficiency of the restoration treatment – which is different for the two artefacts – but depends on their various states of initial conservation due to the environment where they were found. The hypothesis is supported by the fact that the only find of the comparison set where the weeping iron was verified came from unit 1005.

5.5.5.3 FTIR in ATR analysis on protective layers

The chemical stability of the protective layer was studied by using the analytical technique that recorded the

si sono dimostrati in grado di metabolizzare e degradare le catene idrocarburiche di questi prodotti. Ciò è stato dimostrato sia in simulazioni di laboratorio sia in casi reali di collezioni archeologiche (ZAITSEVA 2005).

I reperti 1005/2 (chiave) e 1005/1 (chiocca "ca peso") sono stati invece interessati da dissensi fenomeni corrosivi (Fig. 16). La superficie dei manufatti era coperta da conformazioni globulari sotto forma sia di bolle di liquido giallo arancio sia di incrostazioni di forma sferica; queste ultime sono piccoli gusci cavi di diametro variabile (fino a 2-3 mm), caratterizzati da colorazioni che vanno dall'arancio al bruno. Questa tipologia di degrado, denominata weeping, è caratteristica dei materiali ferrosi di provenienza archeologica e viene impurificata all'azione dei cloruri di ferro. Secondo numerose ricerche, le gocce liquide contengono alti contenuti di Fe⁺ e Cl⁻, hanno pH acido e sono il risultato della deliquescenza di cloruri di Fe(II) e Fe(Cl). I gusci solidi invece si formano a causa della precipitazione di FeOOH all'interfaccia tra la goccia e l'aria, a seguito dell'ossidazione e idrolisi del Fe⁺ presente nelle gocce stesse (SELWIN 1999).

La superficie presenta inoltre minute chiazze di materiale polverulento arancione acceso. Potrebbe forse trattarsi di Akaganéite, un idrossido di ferro (β FeOOH) che si forma a seguito di processi corrosivi nelle fasi post scavo su terri che presentano un'alta concentrazione di cloruri (SELWIN 1999).

L'insorgenza di questa tipologia di degrado non sembra rebbe provocata da una minore efficacia del trattamento di restauro, differente per i due manufatti, ma dal loro diverso stato di conservazione iniziale, dovuto all'ambiente di giacitura. L'ipotesi è avvalorata dal fatto che gli unici reperti del set di confronto su cui si è verificato il weeping provengono dall'unità 1005.

med 3100 cm⁻¹ in 3600 cm⁻¹, kar gre verjetno pripisati voči, ki jo je zaščitna plasti vsikala. Videti je tudi porast obeh vrhunskih vrednosti na 1576 cm⁻¹ in 1543 cm⁻¹, kar je verjetno odvisno od alteracije zaščitne plasti, sesla vljene iz voskov. Seveda je treba še pojasniti dolgoročni vpliv teh degradacijskih procesov glede na učinkovitost zaščitnih ukrepov.

5.5.6 Zaključki

Konservativni posegi, ki smo jih izvedli, so na splošno učinkoviti tudi v prisotnosti visoke stopnje vlage v okolju (Sl. 18).

Obdelava bronastih kosov je dosegla pozitivne rezultate: najdbe so spet postale čitljive, korozija pa se je zavrlila. Vsekakor pa je pri pranju z natrijevimi sesami karbonatom treba paziti na koncentracijo snovi in/ali čas nanosa, da bi prepričeli možebitni nastanek tenorita.

Na železu smo prav tako dosegli spodbudne rezultate, predvsem ob upoštevanju drastičnih razmer, v katerih so izcelki prišlo do nas, in kritikos s kovinskimi materiali. Vsekakor pa je bilo jasno zavidno, da v prisotnosti kloridov sami zaščitni in preprečevalni ukrepi ne morejo dolgoročno preprečiti degradacije, in da je torej potreben poseg za odstranitev soli.

Nanos zaščitnih plasti je bil učinkovit, vendar se je po kazala možnost mikrobiološke degradacije teh materialov v primeru visoke stopnje vlage, ki je seveda redka v klimatsiranih muzejskih prostorih, a ni izključena v čepojih in drugih shranjevalnih prostorih.

IR spectrum relative to the surfaces of the sample in a non-destructive and non-invasive way. The analysis were carried out on find 1004 before and after the climatic chamber test, to verify any modifications of chemical nature on the protective layer, which did not show signs of alterations by visual analysis.

The spectrum (Fig. 17) recorded before the treatment agrees with the spectra reported in literature for the Incelac product and the microcrystalline waxes (BROSTOFF 2003; DERRICK 1999).

The signs attributable to the acrylic polymer are at 2955 cm⁻¹ (stretching of C-H bonds), at 1722 cm⁻¹ (stretching of C=O bonds of the ester), the two bands between 1300 cm⁻¹ and 1500 cm⁻¹ (bending of the C-H bonds), and the band between 1100 cm⁻¹ and 1300 cm⁻¹ (stretching of the C-O bond). The pair of peaks at 2920 cm⁻¹ and 2850 cm⁻¹ is actually characteristic of microcrystalline waxes (due to the vibrations from the stretching of the methyl/methylerc groups).

The spectrum related to the sample after the climatic chamber test showed small variations. Firstly, the expansion of the band 3100 cm⁻¹ and 3600 cm⁻¹, probably due to the absorption of water by the protective layer, and an intensity increase of the peaks at 1576 cm⁻¹ and 1543 cm⁻¹, related to alteration processes of the wax-based protective layer, were observed. The long-term impact of these degradation processes relative to the treatment effectiveness must be clarified.

5.5.6 Conclusions

Generally, the conservative operations carried out seem to be effective, even in conditions of high environmental humidity.

5.5.5.3 Analisi FTIR in ATR sui protettivi

La stabilità chimica dello strato di protettivo è stata valutata mediante questa tecnica analitica che è in grado di registrare lo spettro IR relativo alla superficie di un campione in modo non distruttivo e non invasivo. L'analisi dunque è stata svolta sul reperto 1004 prima e dopo il test in camera climatica per verificare eventuali modificazioni della natura chimica del protettivo, che all'analisi visiva non mostrava segni di alterazione.

Lo spettro (Fig. 17) registrato prima del trattamento si accorda molto bene con gli spettri riportati in bibliografia per il prodotto Incalac e le cere microcristalline (BROSTOFF 2003; DERRICK 1999). I segnali attribuibili al polimero acrilico sono a 2955 cm^{-1} (stretching dei legami C-H), a 1722 cm^{-1} (stretching degli legami C=O dell'estere), le due bande tra 1300 cm^{-1} e 1500 cm^{-1} (bending dei legami C-H), la banda tra 1100 cm^{-1} e 1300 cm^{-1} (stretching del legame C-O). Caratteristica delle cere microcristalline è invece la coppia di picchi a 2920 cm^{-1} e 2850 cm^{-1} (dovuta alle vibrazioni di stretching dei gruppi metilici/metilenici).

Lo spettro registrato dopo il test in camera climatica mostra alcune lievi variazioni. Si osserva innanzitutto l'allargamento della banda tra 3100 cm^{-1} e 3600 cm^{-1} , probabilmente dovuto all'assorbimento d'acqua da parte del protettivo. Si ravvisa inoltre l'aumento di intensità della coppia di picchi a 1576 cm^{-1} e 1543 cm^{-1} , probabilmente legata a processi di alterazione del protettivo a base di cere. Ovviamente resta da chiarire l'incidenza sul lungo termine di questi processi di degrado in relazione all'efficacia del trattamento.

The treatment of the bronze finds shows positive results: the finds were once again legible and corrosion was stopped. In order to avoid the formation of tenorite during washing procedure with sodium sesquicarbonate, some precautions must be taken with the product concentration and/or application time.

The results obtained with iron pieces also are positive considering the crastic conditions to which they were subjected and the intrinsic vulnerability of these materials. However, a further specific treatment to remove salts is needed in the presence of chlorides because protection and inhibition are insufficient to prevent degradation in the medium long term.

The protective layers applied have shown to be very effective and the possibility of a microbiological degradation of these materials was evidenced under high humidity conditions certainly not common to the museum environments, but they are not excluded in other preservation environments such as the deposits.

5.5.6 Conclusioni

In linea generale, gli interventi conservativi eseguiti sembrano essere efficaci, anche in condizioni di elevata umidità ambientale.

Il trattamento dei bronzi ha dato esiti positivi: i reperti hanno recuperato la loro leggibilità e i fenomeni corrosivi sono stati arrestati. Alcune precauzioni varranno però prestato durante il lavaggio con sesquicarbonato di sodio relativamente alla concentrazione del prodotto e/o al suo tempo d'applicazione, allo scopo di evitare l'eventuale formazione di tenorite.

Anche i risultati ottenuti sul ferro appaiono positivi, specialmente in relazione alle condizioni drastiche a cui sono stati sottoposti i pezzi e all'intrinseca vulnerabilità di queste materie. È apparso però evidente che, in presenza di cloruri, gli step di protezione e frigorifizione da soli non sono sufficienti a prevenire il degrado sul medio-lungo periodo, ma è necessario uno specifico trattamento di rimozione dei sali.

Ci strati protettivi applicati hanno dimostrato una buona efficacia, tuttavia è stata messa in luce la possibilità di un degrado microbiologico di questi materiali in condizioni di elevate umidità, situazioni certamente non frequenti negli ambienti museali climatizzati, ma non del tutto escluse in altri ambienti di conservazione quali ad esempio i depositi.

Materiale

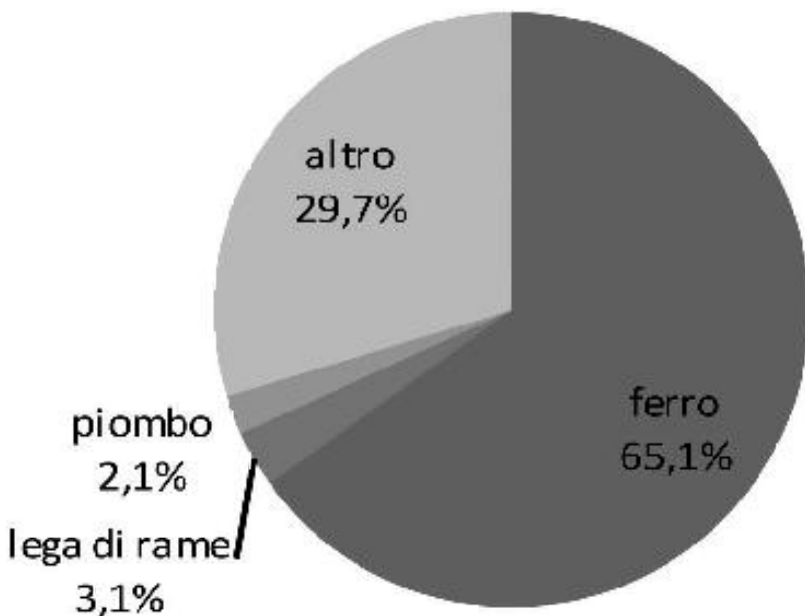


Fig. 1 - Percentuali relative alla classificazione dei reperti in base al materiale (C. Frigatti)

Macrocategorie reperti

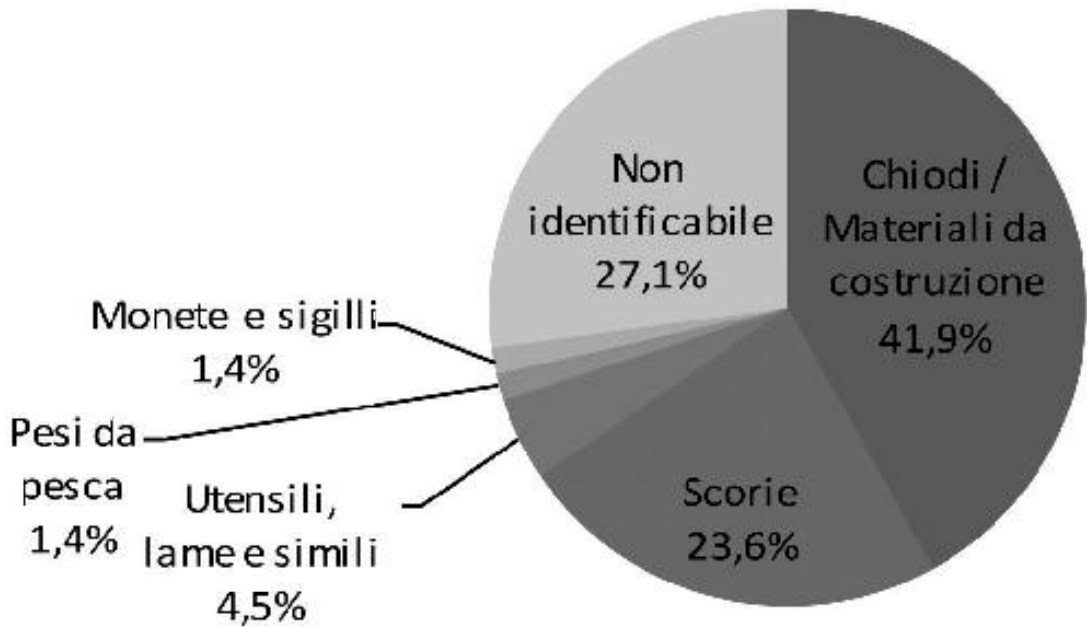


Fig. 2 - Percentuali relative alla classificazione dei reperti in base alle tipologie di manufatto (C. Frigatti)